

NOM:  
Prénom:  
date:  
UC:

*Notes de cours*  
*28/10/2014*  
*L. PELT*

*- efforts à l'échelle sur vue respective p.15.*

**Contrôle de travail**

calcul du coefficient de sécurité d'un arbre

Document autorisé: 1 feuille de notes A4 manuscrite recto-verso.

Le système étudié est donné en annexe format A3.

Les dimensions seront prises sur les dessins A4 échelle 1 uniquement.

L'étude portera sur l'arbre entraînant la poulie motrice de la transmission par courroie.

La tension du brin tendu de la courroie est supposée appliquée au point C, sur le diamètre primitif de la poulie.

La tension du brin mou est négligée.

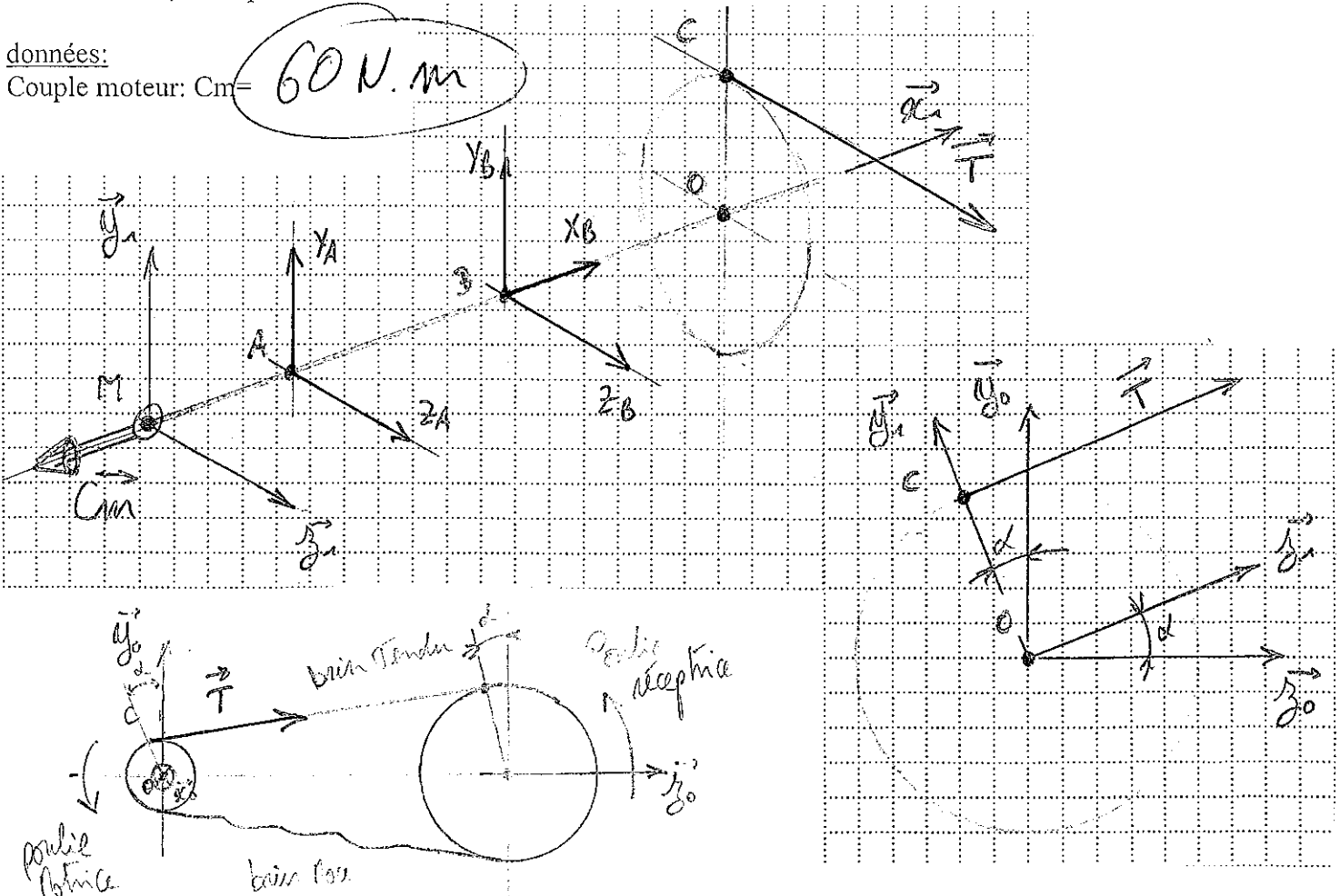
L'étude sera faite dans le repère (0,x1,y1,z1).

**I. CALCUL DES REACTIONS AUX PALIERS A et B**

La modélisation des actions mécaniques appliquées sur l'arbre moteur complet (arbre, poulie, bagues intérieures Rlmts A et B, clavette, écrou...) est représenté ci-dessous:

données:

Couple moteur:  $C_m = 60 \text{ N.m}$



Une étude statique permet d'établir les relations suivantes:

- équilibre des moments sur l'axe x:  $- \| \vec{C}_m \| + oc \cdot \| \vec{T} \| = 0$
  - équilibre des moments en B sur l'axe y:  $- ob \cdot \| \vec{T} \| + ab \cdot z_A = 0$
  - équilibre des forces sur l'axe z:  $z_A + z_B + \| \vec{T} \| = 0$
- $\left. \begin{array}{l} x_B = 0 \\ y_A = 0 \\ y_B = 0 \end{array} \right\}$

Calculez les réactions aux centres de poussées des roulements A et B:

$$F_{RA} =$$

$$F_{RB} =$$

## II. TRACE DU DIAGRAMME DES EFFORTS INTERIEURS

L'étude porte uniquement sur l'arbre noté S.

Le dessin de définition de l'arbre S, échelle 1, est donné en annexe.

Ci-dessous une perspective de l'arbre S, les actions mécaniques précédentes y sont reportées:

- en A et B pour les réactions des paliers A et B;
- en O pour l'action du brin tendu de la courroie initialement appliqué en C, mais transporté en O. (Or: couple constant)
- en M: pour l'application du couple moteur
- en D et E pour l'effort de traction dû au serrage de l'écrou à encoche en bout d'arbre.

$$G = OC \cdot \vec{HT} \parallel$$

Données:

Effort de serrage dû à l'écrou:  $\|F_{\text{écrou} \rightarrow S}\| = \|F_{\text{fentretoise} \rightarrow S}\| = 1000 \text{ N}$ .

échelle des forces:  $1 \text{ mm} = 100 \text{ N}$ .

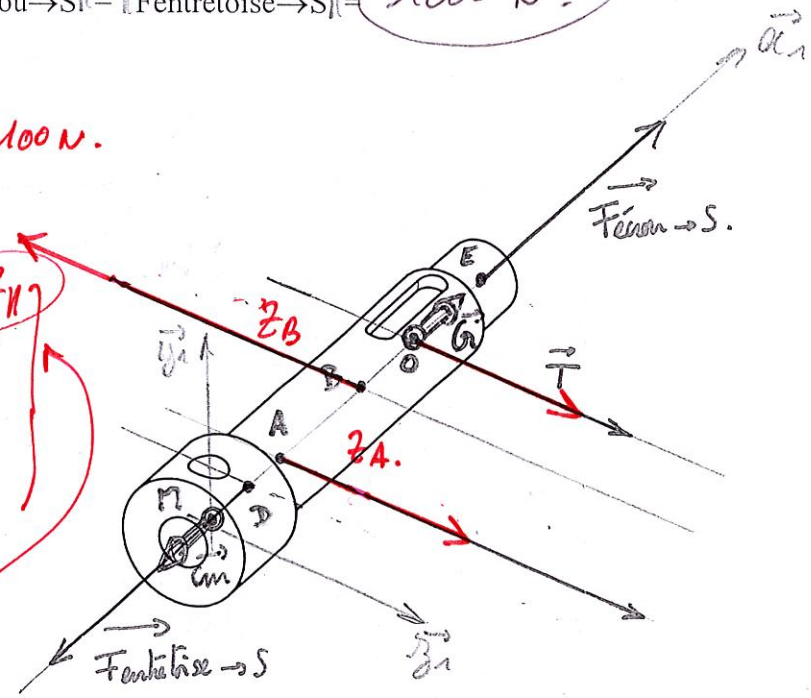
actions en O:

$$\begin{pmatrix} 0 \\ 0 \\ HT \end{pmatrix} \begin{pmatrix} OC \cdot HT \parallel \\ 0 \\ 0 \end{pmatrix}$$

$$M_{\vec{bT}_O} = M_{\vec{bT}_C} + \vec{OC} \wedge \vec{T}$$

$$= \begin{pmatrix} 0 \\ 0 \\ 0 \end{pmatrix} + \begin{pmatrix} 0 \\ OC \perp \\ 0 \end{pmatrix} \wedge \begin{pmatrix} 0 \\ 0 \\ HT \parallel \end{pmatrix}$$

$$= \begin{pmatrix} 0 \\ 0 \\ OC \cdot HT \parallel \end{pmatrix}$$



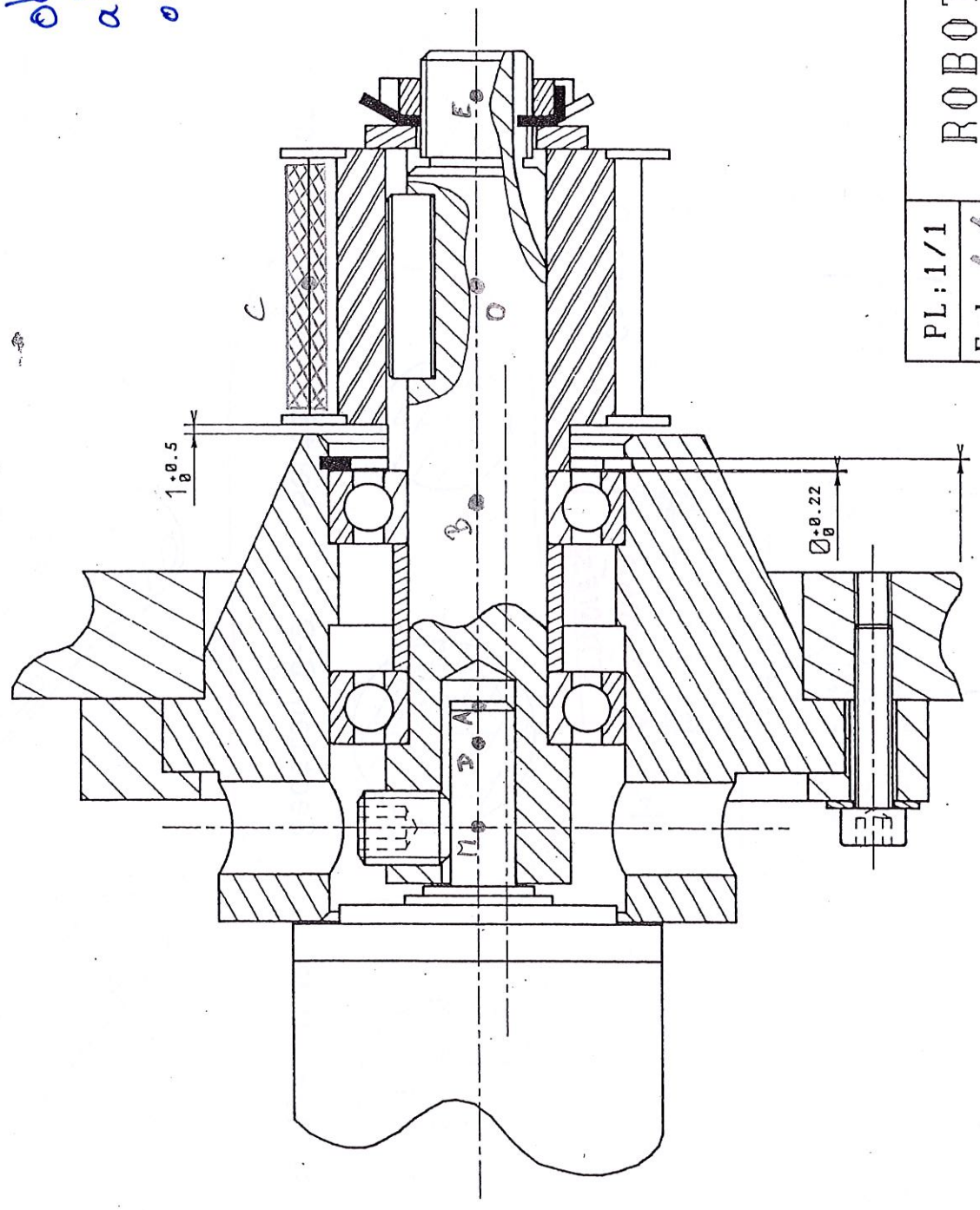
Tracez le diagramme des efforts intérieurs de l'arbre S.

En déduire le coefficient de sécurité de l'arbre dans les sections D-D et B-B.

Quelle est la section la plus sollicitées de l'arbre? Justifiez.

Dimensions in mm:

$\phi b = 33$   
 $ab = 30$   
 $oc = 25$



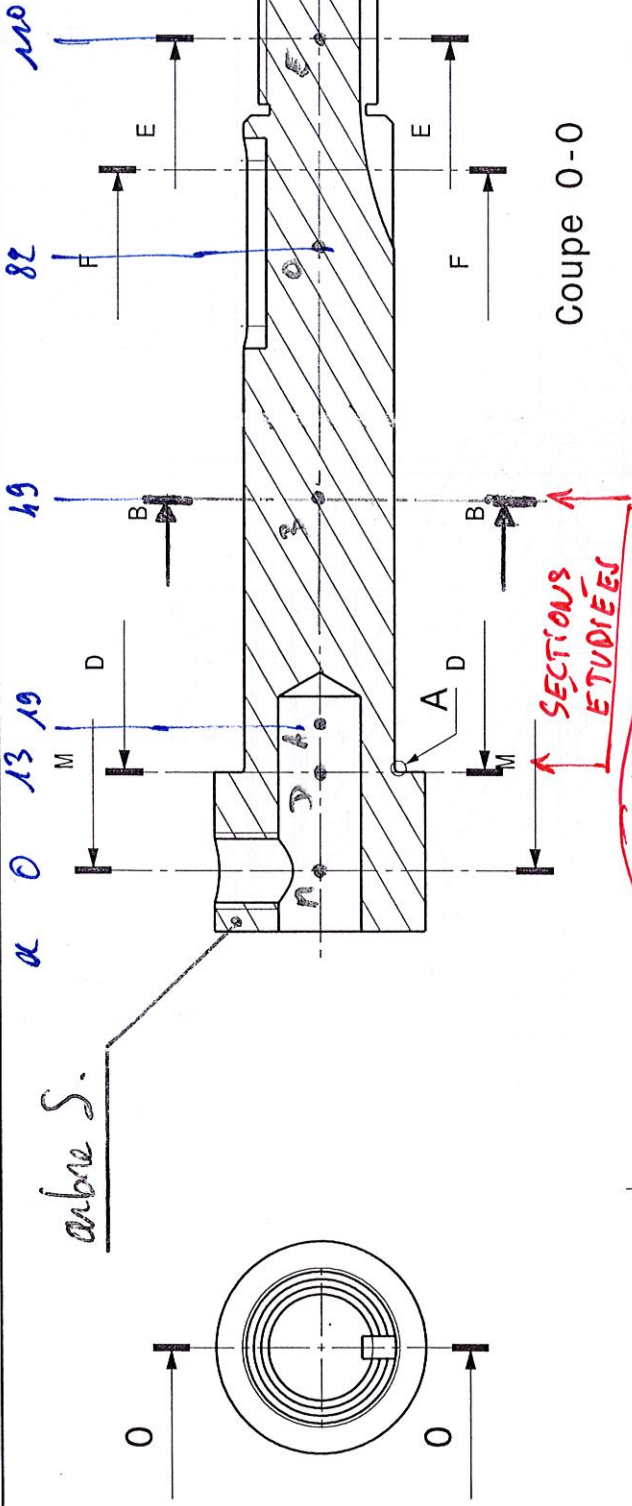
PL: 1/1  
Ech: 4:1

# ROBOT ERICC 2

ENTRAINEMENT BRAS\CHAISE

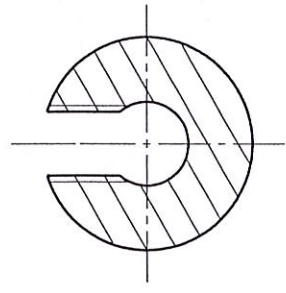
Lycée Technique d'Armentières

arbre S.

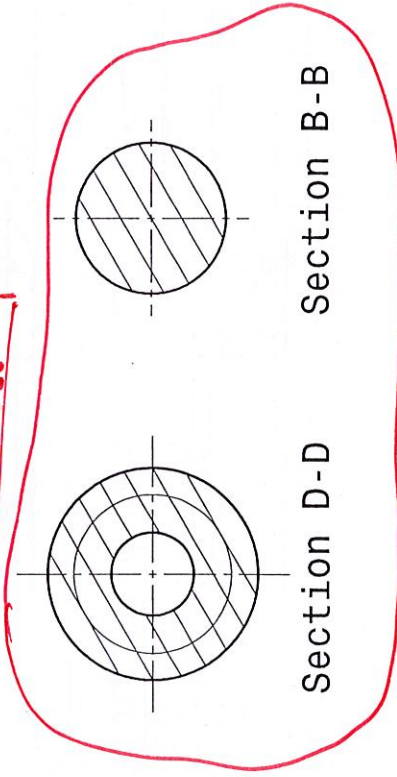


Détail A

Coupe 0-0

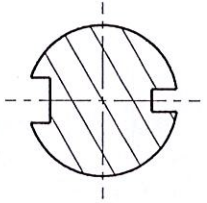


Section M-M

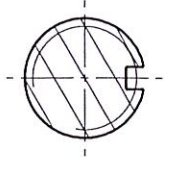


Section B-B

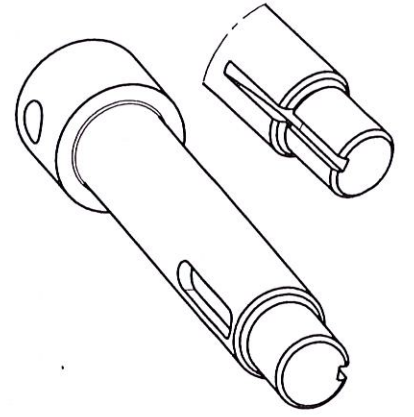
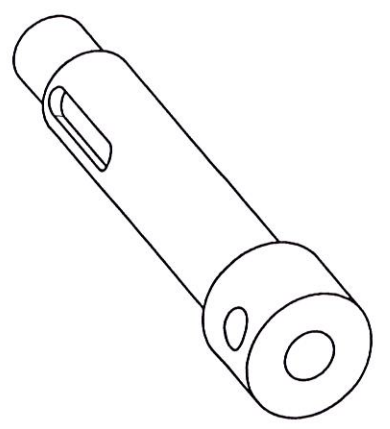
Section D-D



Section F-F



Section E-E



arbre\_ERICC-S  
 Matière: acier C30 ( $\sigma_e = 350N/mm^2$ ).

ECHELLE 1:1

I Calcul des réactions aux patins A et B:

- bilan acti EXT, en N: 
$$\left\{ \begin{array}{l|l} 0 & -\|\vec{C}_m\| \\ 0 & 0 \\ 0 & 0 \end{array} \right\} (R_n)$$

en C 
$$\left\{ \begin{array}{l|l} 0 & 0 \\ 0 & 0 \\ \|\vec{T}\| & 0 \end{array} \right\} R_n$$

en A 
$$\left\{ \begin{array}{l|l} X_A=0 & 0 \\ Y_A=0 & 0 \\ Z_A & 0 \end{array} \right\} R_n$$

en B 
$$\left\{ \begin{array}{l|l} 0 & 0 \\ 0 & 0 \\ Z_B & 0 \end{array} \right\} R_n$$

équilibre en B:

$$\left\{ \begin{array}{l} \vec{N} + \vec{A} + \vec{B} + \vec{C} = \vec{0} \\ \vec{m}_{O_n} + \vec{B} \wedge \vec{A} + \vec{C} \wedge \vec{0} = \vec{0} \end{array} \right. \longrightarrow \boxed{Z_A + Z_B + \|\vec{T}\| = 0}$$

$$\left| \begin{array}{c|c|c|c|c|c} -\|\vec{C}_m\| & -ab & 0 & ob & 0 & 0 \\ 0 & 0 & 0 & oc & 0 & 0 \\ 0 & 0 & Z_A & 0 & \|\vec{T}\| & 0 \end{array} \right| = 0$$

$$\left\{ \begin{array}{l} -\|\vec{C}_m\| + oc \cdot \|\vec{T}\| = 0 \\ ab \cdot Z_A - ob \cdot \|\vec{T}\| = 0 \end{array} \right.$$

Donné dans le sujet.

A.N:  $F_{RA} = \sqrt{Y_A^2 + Z_A^2} = |Z_A| = \frac{ob}{ab} \cdot \|\vec{T}\|$

AN:  $F_{RA} = \frac{33}{30} \cdot 2400 = 2640$

$\|\vec{T}\| = \frac{\|\vec{C}_m\|}{oc} = \frac{60 \cdot 10^3}{25} = 2400 \text{ N}$

$F_{RB} = |Z_B| = |-\|\vec{T}\| - Z_A|$

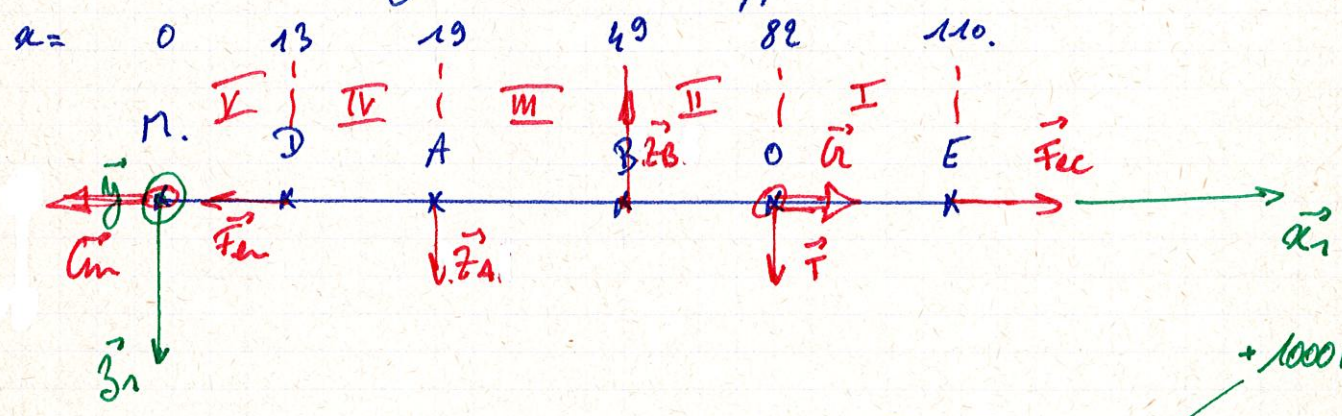
AN:  $F_{RB} = 2400 + 2640 = 5040 \text{ N}$

Bilan :

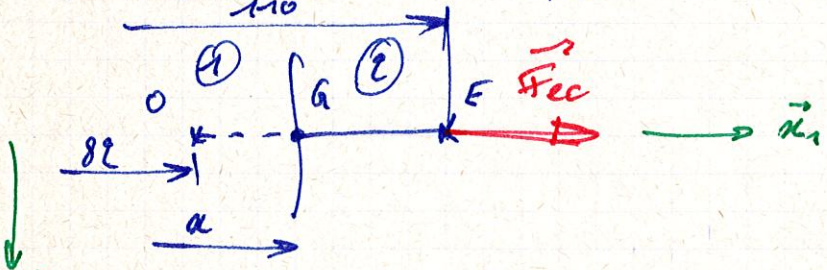
- $Z_A = 2640 \text{ N}$
- $Z_B = 5040 \text{ N}$
- $\|\vec{T}\| = 2400 \text{ N}$
- $\|\vec{C}_m\| = 60 \text{ N.m}$

- $ob = 33 \text{ m}$
- $ab = 30 \text{ m}$
- $oc = 25 \text{ mm}$

II Tracé du diagramme des effets intérieurs.



• Tronçon I :  $G \in ]0, E]$



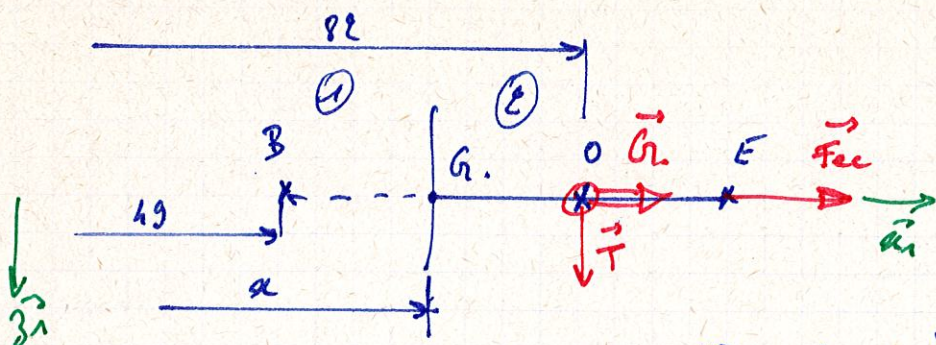
$m_0 < a \leq m_e$	
$N = \ \vec{F}_{ec}\ $	$M_y = 0$
$T_y = 0$	$M_{yz} = 0$
$T_z = 0$	$M_{xz} = 0$

$$I_{G_{coh}} = + I_{G \rightarrow E} \Rightarrow \begin{cases} R_{coh} = \vec{F}_{ec} \\ M_{G_{coh}} = G\vec{E} \wedge \vec{F}_{ec} \end{cases} = \begin{pmatrix} \|\vec{F}_{ec}\| \\ 0 \\ 0 \end{pmatrix}$$

$$\begin{pmatrix} m_e - a \\ 0 \\ 0 \end{pmatrix} \wedge \begin{pmatrix} \|\vec{F}_{ec}\| \\ 0 \\ 0 \end{pmatrix} = \begin{pmatrix} 0 \\ 0 \\ 0 \end{pmatrix}$$

• Tronçon II:  $Q \in ]B, 0]$

60 N.m



$ma < a \leq mo$	
$N = k\vec{F}_{ecH}$	$M_{Bt} = k\vec{C}_H$
$T_y = 0$	$M_{fy} = \alpha \ \vec{T}\  = mo \cdot \ \vec{T}\ $
$T_z = k\vec{T}_H$	$M_{fz} = 0$

$b_{coh} = + \frac{1}{2} \vec{s} \rightarrow \vec{e} \Rightarrow$

$$\begin{cases} \vec{R}_{coh} = \vec{F}_{ec} + \vec{T} = \begin{pmatrix} k\vec{F}_{ecH} \\ 0 \\ k\vec{T}_H \end{pmatrix} \\ \vec{M}_{coh} = \vec{e}_1 + \vec{a} \otimes \vec{0} \end{cases}$$

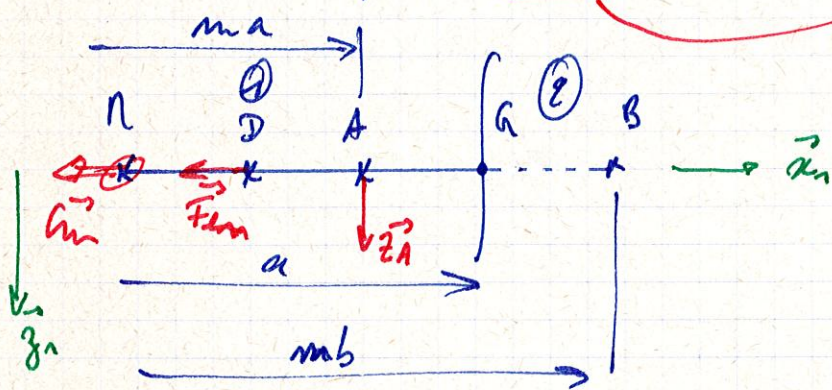
$$\begin{vmatrix} ma - \alpha & 0 \\ 0 & 1 \end{vmatrix} \wedge \begin{vmatrix} 0 \\ 0 \\ k\vec{T}_H \end{vmatrix}$$

$$\hookrightarrow = \begin{vmatrix} 0 \\ \alpha \cdot k\vec{T}_H - mo \cdot k\vec{T}_H \\ 0 \end{vmatrix}$$

• Tronçon III:  $Q \in ]A, B]$

On isole la partie gauche  $\Rightarrow b_{coh} = - \frac{1}{2} \vec{s} \rightarrow \vec{e}$

1000 N



$ma < a \leq mb$	
$N = k\vec{F}_{ecH}$	$M_{Bt} = k\vec{C}_H$
$T_y = 0$	$M_{fy} = \alpha \cdot k\vec{Z}_A + ma \cdot k\vec{Z}_A$
$T_z = -k\vec{Z}_A$	$M_{fz} = 0$

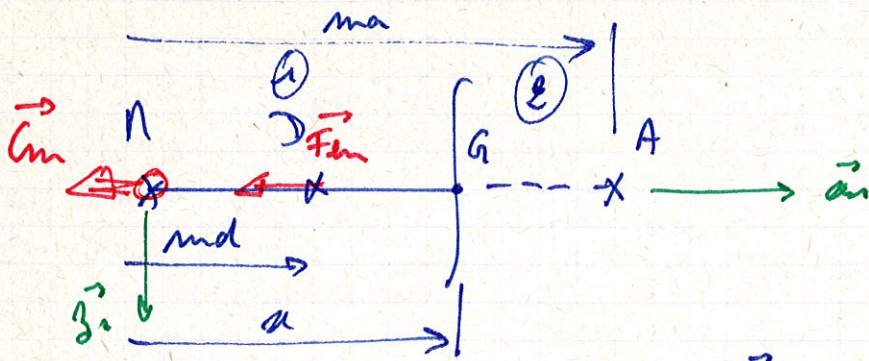
$$\begin{cases} \vec{R}_{coh} = -(\vec{A} + \vec{D} + \vec{N}) \\ \vec{M}_{coh} = -(\vec{a} \wedge \vec{A} + \vec{a} \wedge \vec{D} + \vec{C}_H \wedge \vec{e}_1) \end{cases} \begin{vmatrix} k\vec{F}_{ecH} \\ 0 \\ -k\vec{Z}_A \end{vmatrix}$$

$$= \hookrightarrow - \begin{vmatrix} ma - \alpha & 0 \\ 0 & 1 \end{vmatrix} \wedge \begin{vmatrix} 0 \\ 0 \\ k\vec{Z}_A \end{vmatrix} + \begin{vmatrix} -k\vec{C}_H \\ 0 \\ 0 \end{vmatrix}$$

$$= - \begin{vmatrix} 0 \\ \alpha \cdot k\vec{Z}_A - ma \cdot k\vec{Z}_A \\ 0 \end{vmatrix} + \begin{vmatrix} -k\vec{C}_H \\ 0 \\ 0 \end{vmatrix}$$

$$= \begin{vmatrix} k\vec{C}_H \\ -\alpha \cdot k\vec{Z}_A + ma \cdot k\vec{Z}_A \\ 0 \end{vmatrix}$$

• Tronçon IV:  $G \in ]D, A]$



$md < a \leq ma$	
$N = \ F_{ext}\ $	$m_{pE} = \ C_m\ $
$T_y = 0$	$m_{fy} = 0$
$T_z = 0$	$m_{fz} = 0$

$$R_{coh} = \ominus \circlearrowleft_{S \rightarrow 1} \left\{ \begin{array}{l} R_{coh} = \ominus F_{ext} = \begin{array}{l} \|F_{ext}\| \\ 0 \\ 0 \end{array} \\ m_{y_{coh}} = \ominus C_m = \begin{array}{l} \|C_m\| \\ 0 \\ 0 \end{array} \end{array} \right.$$

• Tronçon V:  $G \in ]N, D]$

$$R_{coh} = \begin{array}{l} 0 \\ 0 \\ 0 \end{array}$$

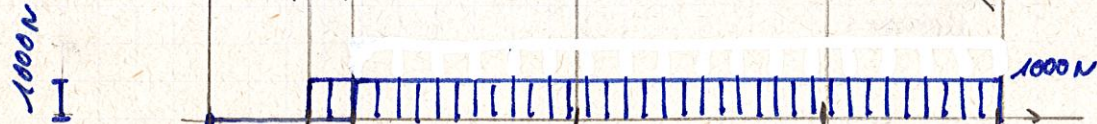
$$m_{y_{coh}} = \begin{array}{l} \|C_m\| \\ 0 \\ 0 \end{array}$$

$0 < a \leq md$	
$N = 0$	$m_{pE} = \ C_m\ $
$T_y = 0$	$m_{fy} = 0$
$T_z = 0$	$m_{fz} = 0$

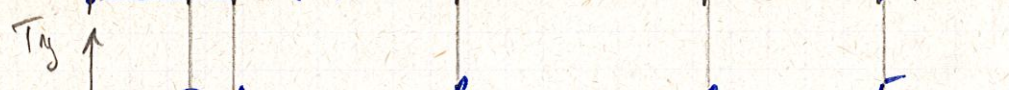
Remarque: le tracé du diagramme peut être fait "sans calculs" ou presque (voir remarques à côté du diagramme).



N P D A M B N O I E



effort de cisailage de l'union entre A et E.



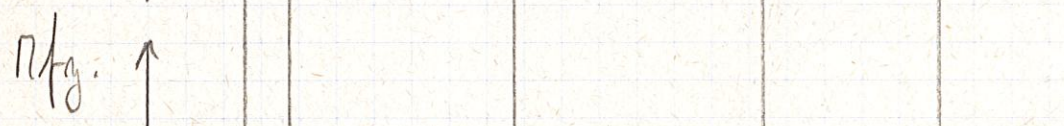
Pas d'efforts suivant l'axe  $\vec{T}_z$



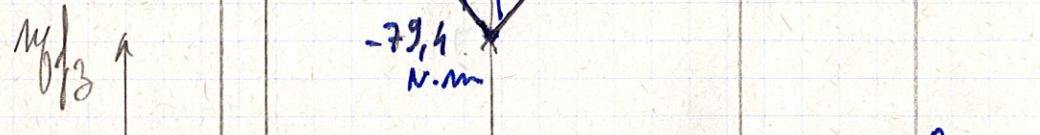
+T.N entre B et O  
-T.N entre A et B.



le couple transmis par l'arbre entre P et O.

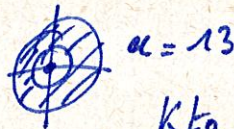


en B  $\begin{cases} Z_A.ab \text{ entre A et B} \\ T.ob \text{ entre B et O.} \end{cases}$   
Moment nul en A et O.



Pas d'efforts sur l'axe  $\vec{T}_z$ , donc pas de moments sur l'axe  $\vec{T}_z$ .

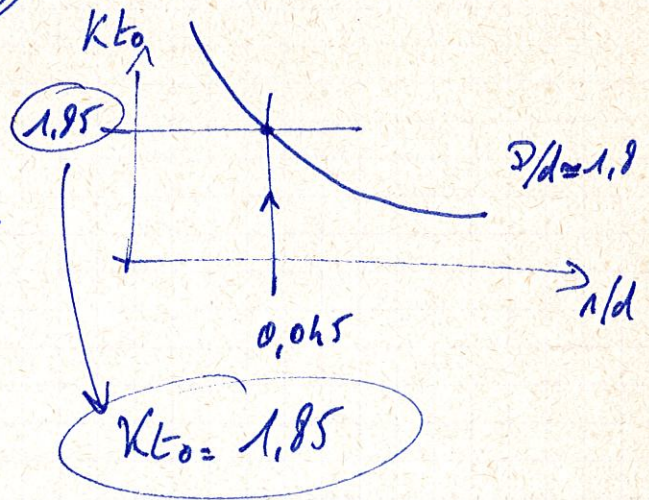
Etude de la section D-D:



$D = 20$   
 $d = 11$   
 $n = 0,5$

$D/d = 1,82$

$\frac{n}{d} = \frac{0,5}{11} = 0,045$



d'après la feuille de calcul:

$S_{D-D} = 2,25$  (Torsion pure).

Etude de la section B-B:



Pas de perturbation de la section  $\Rightarrow Kt = 1$

$D = 20$

$\alpha = 49$

d'après la feuille de calcul:  $S_{B-B} = 2,5$

Conclusion:

Pour connaître la section la plus sollicitée, il faudrait faire le calcul du coefficient de sécurité dans chaque section de l'arbre. ( $Kt \neq$ , section  $\neq$ , effets int  $\neq$ ...).

Cependant:

Les contraintes de torsion et flexion ont l'air prédominante dans les calculs, la section B-B doit être la plus sollicitée.

# COEFFICIENTS DE CONCENTRATION DE CONTRAINTES DANS UN ARBRE.

Si la pièce présente des discontinuités de forme (entailles, épaulements, rainures, trous, mauvais état de surfaces, défauts métallurgiques, ...), autour de ces zones les contraintes réelles sont beaucoup plus importantes que les contraintes nominales obtenues à partir des calculs de la RdM. Ce phénomène local est appelé phénomène de concentration des contraintes.

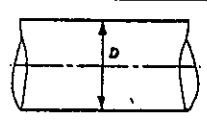
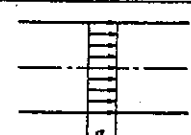
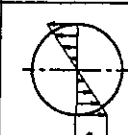
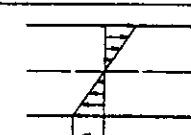
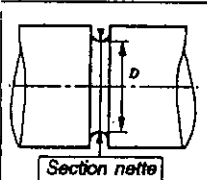
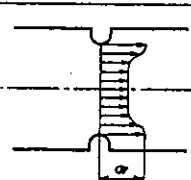
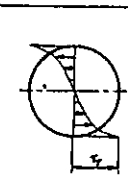
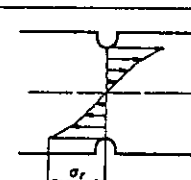
Arbre	Traction	Torsion	Flexion
			
			

Figure 12.8 – Arbre entaillé par une gorge. Représentation des contraintes réelles

## TRACTION

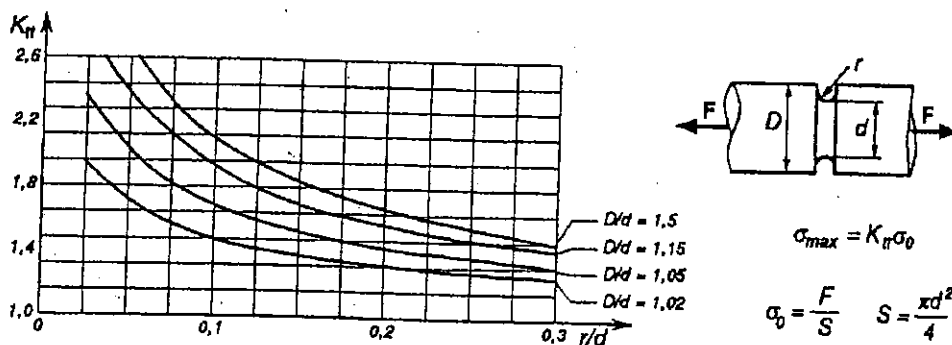
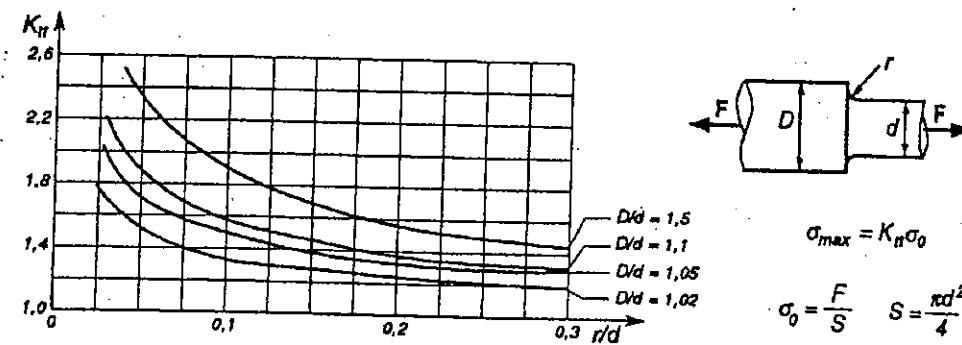


Figure 12.11 – Valeur de  $K_t$  en traction pure pour différents types d'entailles

# FLEXION

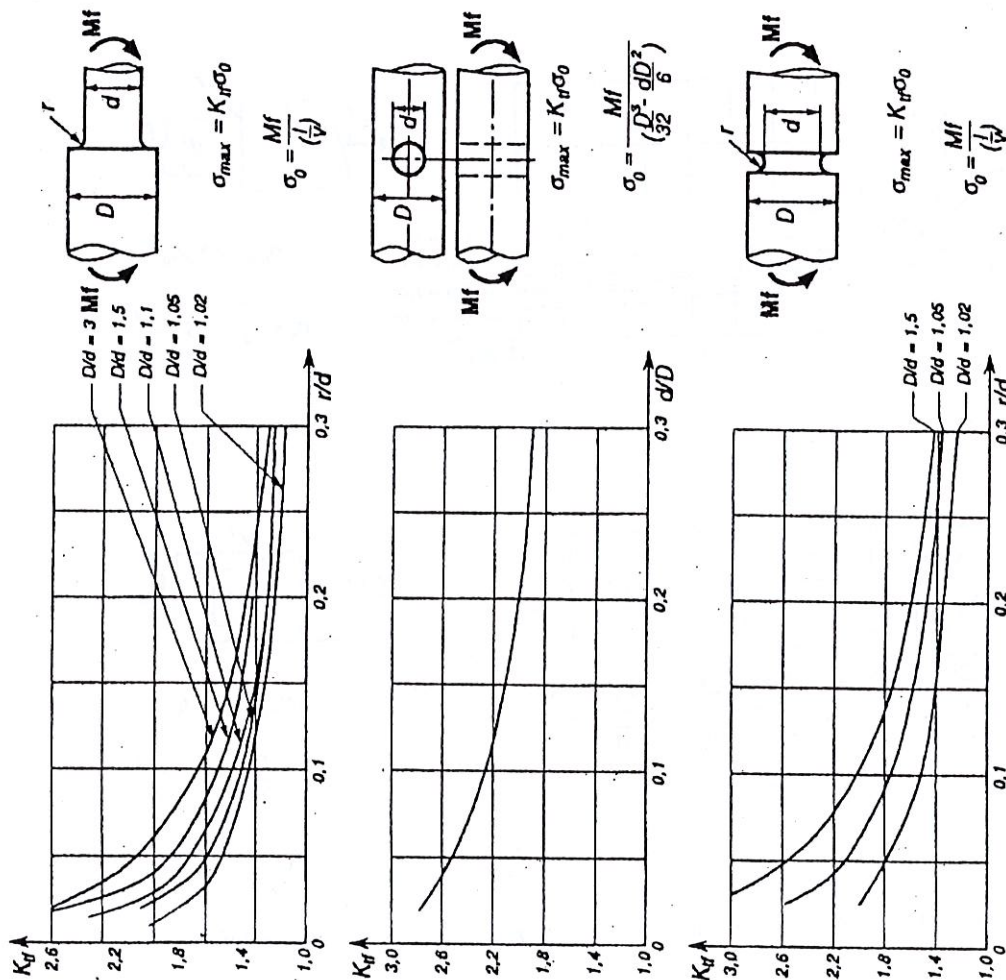


Figure 12.10 - Valeur de  $K_f$  en flexion pure pour différents types d'entailles

# TORSION

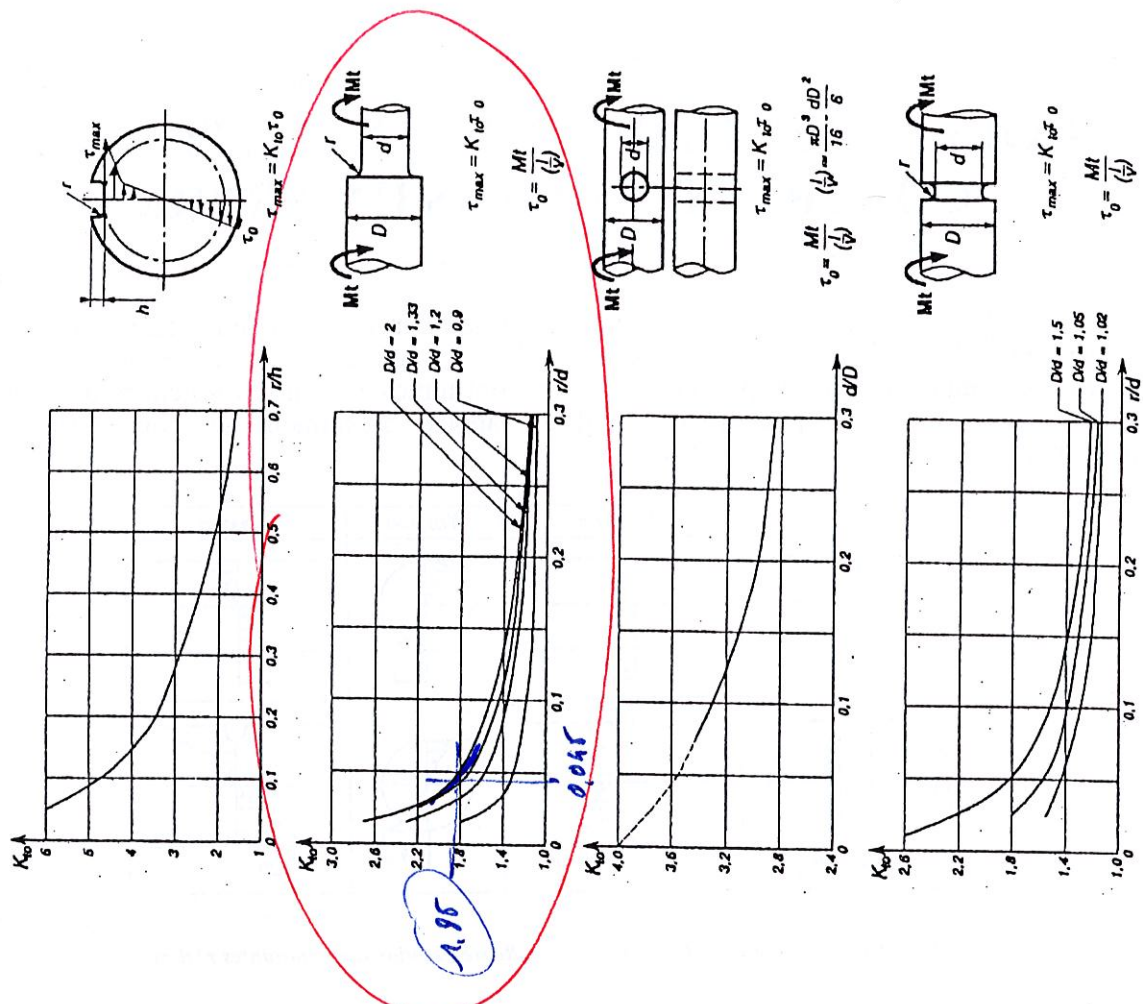
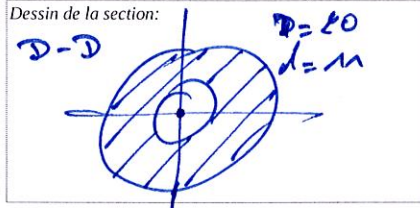


Figure 12.9 - Valeur de  $K_t$  en torsion pure pour différents types d'entailles

FICHE DE CALCUL DU COEFFICIENT DE SECURITE D'UNE SECTION DROITE D'UN ARBRE

abscisse de la section mm	
X	13



diamètre EXT en mm  
diamètre INT en mm  
aire de la section en mm<sup>2</sup>  
Moment quadratique polaire  
\_mm<sup>4</sup>  
Moment d'inertie /axe z  
\_mm<sup>4</sup>

géométrie de la section ronde	
D	20
d	11
S	219 = $\frac{\pi}{4}(D^2-d^2)$
Io	14271 = $\frac{\pi}{32}(D^4-d^4)$
Igz	7135 = $Io/2$

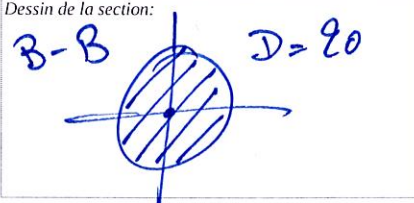
limite d'élasticité du matériau _en Mpa	$\sigma_e$	350
--	------------	-----

TORSION PURE

Effort normal en N	N	0	Moment de torsion en N.m	Mt	60
effort tranchant sur y en N	Ty	0	Moment fléchissant sur y en N.m	Mfy	0
effort tranchant sur z en N	Tz	0	Moment fléchissant sur z en N.m	Mfz	0

			$\sigma_{nominale}$	$K_t$ Coef de Concentration De contrainte	$\sigma_{reelle} = K_t * \sigma_{nominale}$
contrainte normale de traction	$\sigma_{traction} = N / S$		0.00	1	0.00
contrainte normale de flexion	$\sigma_{flexion} = (Mfy^2 + Mfz^2)^{(1/2)} / (Igz / (d/2))$		0.00	1	0.00
contrainte tangentielle de cisaillement	$\tau_{cisaillement} = (Ty^2 + Tz^2)^{(1/2)} / S$		0.00	1	0.00
contrainte tangentielle de torsion	$\tau_{torsion} = Mt / (Io / (d/2))$		42.04	1.85	77.78
Contrainte équivalente de TRESCA	$\sigma_{eq}^T = (\sigma_{tract^2 + flex^2} + 4\tau_{cisailt+tors^2})^{(1/2)}$		/	/	155.56
coefficient de sécurité de la section	$S_{secu} = \sigma_e / \sigma_{eq}^T$		/	/	2.25

## FICHE DE CALCUL DU COEFFICIENT DE SECURITE D'UNE SECTION DROITE D'UN ARBRE

abscisse de la section _mm		géométrie de la section ronde				
X	49	D	20			
Dessin de la section: 		diamètre EXT en mm				
		diamètre INT en mm	0			
		aire de la section en mm <sup>2</sup>	314 = $\pi/4 \cdot (D^2 - d^2)$			
		Moment quadratique polaire _mm <sup>4</sup>	15708 = $\pi/32 \cdot (D^4 - d^4)$			
		Moment d'inertie /axe z _mm <sup>4</sup>	7854 = $Io/2$			
limite d'élasticité du matériau _en Mpa	$\sigma_e$	350				
Effort normal en N	N	1000	Moment de torsion en N.m	Mt	60	
effort tranchant sur y en N	Ty	0	Moment fléchissant sur y en N.m	Mfy	79.4	
effort tranchant sur z en N	Tz	2640	Moment fléchissant sur z en N.m	Mfz	0	
				$\sigma$ <sub>nominale</sub>	$K_t$ Coef de Concentration De contrainte	$\sigma$ <sub>reelle</sub> = $K_t \cdot \sigma$ <sub>nominale</sub>
contrainte normale de traction	$\sigma_{\text{traction}}$	= N / S		3.18	1	3.18
contrainte normale de flexion	$\sigma_{\text{flexion}}$	= $(Mfy^2 + Mfz^2)^{(1/2)} / (Igz / (d/2))$		101.10	1	101.10
contrainte tangentielle de cisaillement	$\tau_{\text{cisaillement}}$	= $(Ty^2 + Tz^2)^{(1/2)} / S$		8.40	1	8.40
contrainte tangentielle de torsion	$\tau_{\text{torsion}}$	= Mt / $(Io / (d/2))$		38.20	1	38.20
Contrainte équivalente de TRESCA	$\sigma_{\text{eq}}^T$	= $(\sigma_{\text{tract}^2 + \text{flex}^2} + 4\tau_{\text{cisailt+tors}^2})^{(1/2)}$		/	/	139.86
coefficient de sécurité de la section	$S_{\text{seccu}}$	= $\sigma_e / \sigma_{\text{eq}}^T$		/	/	2.50